

[法]石油与天然气勘探开发工会等 编

钻井泥浆与水泥浆 流变学手册

石油工业出版社

内 容 提 要

本书介绍了流变学的一些基本概念，以及流变学理论在钻井泥浆与水泥浆方面的应用，还介绍了水力设计参数优选的方法并举例加以说明。

本书内容丰富且全面，省去了数学公式的繁琐推导，突出公式的应用及流变参数的优选。本书适合于钻井工程技术人员现场使用，也可用作研究人员及有关院校师生的参考书。

Drilling Mud and Cement Slurry Rheology Manual

Gulf Publishing Company

Book Division

Houston, Texas

1982

*

钻井泥浆与水泥浆流变学手册

〔法〕石油与天然气勘探开发工会等编

曾祥熹译

*

石油工业出版社出版

《北京安定门外大街东后街甲36号》

煤炭出版社印刷厂排版

北京顺义燕华营印刷厂印刷

新华书店北京发行所发行

*

787×1092毫米32开本4印张 81千字 印1—8,300

1984年10月北京第1版 1984年10月北京第1次印刷

书号：15037·2492 定价：0.45元

序　　言

(摘　　译)

钻井液与水泥浆的流变特性，即流动性质，现在已不言而喻地被认为是重要的。

钻井过程中，用简便且快速的方法调节泥浆的“粘度”或流变特性，已成为井场技术人员经常必需的指南，直到今天还是如此。实际上，流动性质直接影响各种作业的进行。适当调节流动性质，能保证井眼规则并在尽可能短的时间内及尽可能安全的条件下完钻。

同样，注水泥时水泥浆顶替泥浆的效率也取决于其液体的流动性质。

在其他限制条件下调节和优选流变特性，显然计算繁杂。但是，近年来由于采用了现代计算技术，特别是使用了可编程序的微型计算机，数据处理变得更加容易了。

石油与天然气勘探开发工会 (*Chambre Syndicale de la Recherche et de la Production du Pétrole et du Gaz Naturel*) 法国技术委员会“钻井液及水泥”小组打算把有关钻井液流变学的资料编写成一本单独的手册，以供同行们使用。

本书不着重于理论论述，也不注重于大量的公式推导。因此它有可能会使读者失望，因为它主要偏重于实践。本书试图提出一种易在实践中应用的逻辑处理方法。结果，省略了某些计算方法，并且有时精确性由于简化而降低。然而，

近似值的使用是可行的，实际上，如果考虑那些不能进行定量处理的固有因素，任何严格的尝试是注定要失败的。

本书第一章讨论了基本概念。第二章论述了确定钻井液和水泥浆流变参数的一般原则。第三章是应用前两章所得结果的实际方法，使用现场采用的单位制。其主要目的是供技术人员钻井过程中进行水力计算时使用。第四章是计算实例。

本书是由法国石油与天然气勘探开发工会，开发委员会，以*Raymond Broc*（法国石油产品公司）为首的开发实验室分会“钻井液和水泥”小组编写的。

编写本手册最早的想法是*Jacques de LAUTREC*（埃尔夫·阿奎坦国际石油公司）提出来的。如果没有大家的帮助、合作和不倦的努力，是不可能实现的。

开发委员会实验室分会会长 *R. MONICARD*

参数符号及单位

为了便于了解第一、二章，这两章的所有方程均采用国际单位制。第三、四章所用的符号和单位附录及其换算表，见表Ⅺ表Ⅹ。

符 号	含 义	量 纲	国际单位
A	喷嘴总截面积	L^2	米 ²
A_o	钻速	LT^{-1}	米/秒
C_r	阻力系数(沉降)	无因次	
D	钻柱内径	L	米
D_t	环空内径(钻柱外径)	L	米
D_o	环空外径	L	米
f	摩擦(流动)系数	无因次	
g	重力加速度	LT^{-2}	米/秒 ² (9.81)
g_t	时间 t 时的静切力	$ML^{-1}T^{-2}$	帕
I_h	水力冲击力	MLT^{-2}	牛顿
K	稠度系数	$ML^{-1}T^{n-2}$	帕·秒 ⁿ
L	长度	L	米
n	幂律指数	无因次	
P	压力	$ML^{-1}T^{-2}$	帕
P_h	水静压力	$ML^{-1}T^{-2}$	帕
P_t	排出压力	$ML^{-1}T^{-2}$	帕
P_w	泥浆循环中的工作压力	$ML^{-1}T^{-2}$	帕
P	功率	ML^2T^{-3}	瓦

续表

符号	含 义	量 纲	国际单位
P_h	水马力	ML^2T^{-3}	瓦
P_{hc}	钻头外循环的水马力	ML^2T^{-3}	瓦
P_b	钻头水马力	ML^2T^{-3}	瓦
P_{bl}	最大有效水马力	ML^2T^{-3}	瓦
Q	排量	L^3T^{-1}	米 ³ /秒
Q_c	临界排量	L^3T^{-1}	米 ³ /秒
Q_m	保证环空中岩屑上升的最小排量	L^3T^{-1}	米 ³ /秒
Q_s	压力为 P_s 时的最大排量	L^3T^{-1}	米 ³ /秒
Re	雷诺数	无因次	
Re_c	临界雷诺数	无因次	
Re_s	单颗粒沉降雷诺数	无因次	
v	单岩屑颗粒的体积	L^3	米 ³
V	钻井液流速	LT^{-1}	米/秒
V_b	泥浆环空流速	LT^{-1}	米/秒
V_c	钻井液临界流速	LT^{-1}	米/秒
V_r	岩屑的上升速度	LT^{-1}	米/秒
V_s	岩屑的滑落速度	LT^{-1}	米/秒
$\dot{\gamma}$	剪切速率	T^{-1}	1/秒
ΔP	压力损失	$ML^{-1}T^{-2}$	帕
ΔP_o	环空压力损失	$ML^{-1}T^{-2}$	帕
ΔP_c	钻头喷嘴外循环的压力损失	$ML^{-1}T^{-2}$	帕
ΔP_b	钻头压力损失	$ML^{-1}T^{-2}$	帕
ΔP_f	循环系统的最大允许压力损失	$ML^{-1}T^{-2}$	帕
μ	动力粘度	$ML^{-1}T^{-1}$	帕·秒
μ_a	表观粘度	$ML^{-1}T^{-1}$	帕·秒
μ_e	等效粘度	$ML^{-1}T^{-1}$	帕·秒
μ_p	塑性粘度	$ML^{-1}T^{-1}$	帕·秒

续表

符 号	含 义	量 纲	国际单位
ρ	密度	ML^{-3}	公斤/米 ³
ρ_1	钻井液的密度	ML^{-3}	公斤/米 ³
ρ_s	固相颗粒的密度	ML^{-3}	公斤/米 ³
τ	剪切应力	$ML^{-1}T^{-2}$	帕
τ_0	屈服值(极限剪切应力)	$ML^{-1}T^{-2}$	帕
φ_e	环空等效直径	L	米
φ_h	水力直径	L	米
φ_p	岩屑的等效直径	L	米

目 录

参数符号及单位

第一章 基本概念

1. 1 流变学定义	1
1. 2 流动类型	1
1. 2. 1 稳定流	1
1. 2. 2 不稳定流	2
1. 2. 3 流动类型随平均流速的变化	2
1. 3 流变特性	3
1. 4 流变参数的试验测定方法	5
1. 4. 1 马氏漏斗粘度计	5
1. 4. 1. 1 原理	5
1. 4. 1. 2 操作	5
1. 4. 1. 3 校准	6
1. 4. 1. 4 误差来源	7
1. 4. 2 范氏粘度计	7
1. 4. 2. 1 原理	7
1. 4. 2. 2 旋转式同轴圆筒粘度计采用的方程	7
1. 4. 2. 3 范氏粘度计的应用	9
1. 4. 2. 4 操作步骤	10
1. 4. 2. 5 表观粘度的测定	10
1. 4. 2. 6 触变性的测定	11
1. 4. 2. 7 在旋转式同轴圆筒粘度计中流动与在直圆柱形管中流动的比较	11
1. 5 流变体分类	12

1. 6	流变方程	13
1. 6. 1	牛顿流体	13
1. 6. 2	非牛顿流体	13
1. 6. 2. 1	宾汉流体	14
1. 6. 2. 2	假塑性或幂律流体	16
1. 6. 2. 3	剪切速率-剪切应力关系曲线一览表	18
1. 7	剪切稀释作用	18
1. 8	在环空中流动	19
第二章 在钻井液和水泥浆方面的应用		
2. 1	引言	21
2. 2	模式的选择	23
2. 3	流动类型的确定	24
2. 3. 1	雷诺数的一般表达式及其临界值	24
2. 3. 2	雷诺数及临界流速以流变参数为变量的函数 表达式	25
2. 3. 2. 1	牛顿流体	25
2. 3. 2. 2	宾汉流体	25
2. 3. 2. 3	幂律流体	27
2. 4	压力损失计算	28
2. 4. 1	方程	28
2. 4. 2	计算步骤	28
2. 5	起下钻时的压力变化	20
2. 5. 1	凝胶泥浆压力的应用	30
2. 5. 2	钻柱运动时的压力变化	31
2. 5. 2. 1	泥浆的理论位移速度	31
2. 5. 2. 2	泥浆的等效位移速度	31
2. 5. 2. 3	压力激动的计算	32
2. 5. 3	惯性力的影响	33
2. 6	当量密度的概念	33
2. 6. 1	水静压力 (P_4)	34

2. 6. 2 环空（或环空的一部分）压力损失 ΔP_c	35
2. 6. 3 当量循环密度和当量循环比重	35
2. 7 井眼净化与井壁力学强度	35
2. 7. 1 井眼净化	35
2. 7. 1. 1 岩屑由井底进入泥浆流中	35
2. 7. 1. 2 岩屑在环空中的上升	36
2. 7. 2 井壁力学强度	42
2. 7. 2. 1 井壁的冲蚀和力学强度降低的原因	42
2. 7. 2. 2 泥浆流动状态的影响	42
2. 7. 2. 3 Z 值	43
2. 8 水马力	44
2. 8. 1 定义和来源	44
2. 8. 2 水力条件的作用	45
2. 8. 2. 1 钻头水马力	46
2. 8. 2. 2 钻头水力冲击力 I_h	46
2. 8. 3 P_h 与 I_h 值的优选	46
2. 8. 3. 1 压力损失方程和限制条件	47
2. 8. 3. 2 压力损失的最优分配	48
2. 8. 3. 3 ΔP_c 和 Q 关系式的说明及其结果	51
2. 9 流变参数的描述	52
2. 9. 1 宾汉流体	52
2. 9. 1. 1 塑性粘度	52
2. 9. 1. 2 屈服值	53
2. 9. 2 幂律流体	54
2. 9. 2. 1 调度系数 K	54
2. 9. 2. 2 幂律指数 n	54
2. 9. 3 静切力	54
2. 9. 4 马氏漏斗粘度	54
参考文献	55

第三章 基本评价方法

3. 1 引言	58
3. 2 模式选择与流变参数的确定	58
3. 2. 1 六速范氏粘度计	58
3. 2. 1. 1 图解法确定宾汉模式的参数	59
3. 2. 1. 2 图解法确定幂律模式的参数	59
3. 2. 1. 3 最小二乘法	60
3. 2. 2 两速范氏粘度计	62
3. 3 流动类型的确立与压力损失的计算	63
3. 4 起下钻时的压力变化	64
3. 5 循环时的当量密度与当量比重	64
3. 6 岩屑的上升	64
3. 7 水马力	64
3. 7. 1 最优排量和钻头压力损失的确定	68
3. 7. 1. 1 $\Delta P - Q$ 基本关系图	68
3. 7. 1. 2 钻头最大水马力的标准	69
3. 7. 1. 3 最大水力冲击力的标准	71
3. 7. 2 钻头水眼（喷嘴）的计算	73
3. 7. 3 环空上返速度	73
3. 7. 4 最优排量应用的限制	74
3. 7. 5 各种水力参数随井深变化总表	74
3. 7. 6 已知井深时水马力最优分配的实际确定方法	74
3. 8 方程式表	79

第四章 实例

4. 1 工作实例	100
4. 1. 1 一般数据	100
4. 1. 2 宾汉流体的计算实例	101
4. 1. 2. 1 模式选择及流变参数的确定	101
4. 1. 2. 2 雷诺数为1100时最大排量的确定	101

4. 1. 2. 3	水力设计	101
4. 1. 2. 4	压力损失	102
4. 1. 2. 5	当量循环密度	102
4. 1. 2. 6	岩屑上升的速度和时间	103
4. 1. 2. 7	当量钻杆移动密度 (<i>EPMD</i>) 等于当量 循环密度 (<i>ECD</i>) 时的起下钻速度	103
4. 1. 2. 8	操作和惯性引起的压力激动及抽吸压力	103
4. 1. 2. 9	重新循环时破坏凝胶结构的压力激动	104
4. 1. 3	幂律流体的计算实例	104
4. 1. 3. 1	模式选择和流变参数的确定	105
4. 1. 3. 2	雷诺数为 1100 时最大排量的确定	105
4. 1. 3. 3	水力设计	105
4. 1. 3. 4	压力损失	106
4. 1. 3. 5	当量循环密度	106
4. 1. 3. 6	岩屑上升的速度和时间	106
4. 1. 3. 7	当量钻杆移动密度 (<i>EPMD</i>) 等于当量 循环密度 (<i>ECD</i>) 时的起下钻速度	107
4. 1. 3. 8	操作和惯性引起的压力激动及抽吸压力	107
4. 1. 3. 9	重新循环时破坏凝胶结构的压力激动	107
4. 2	诺模图	108

第一章 基本概念

1.1 流变学定义

流变学是研究在外加应力下材料的变形（如为固体）或流动（如为液体）的学科。

作用于物体的力会使物体产生变形。如为固体，当力移去后物体恢复原状，此变形属弹性变形（例如橡皮筋的拉伸）；如只有在其他力的作用下，才恢复原状，则属于塑性变形（例如油灰球的变形）。如为液体，外力会引起流动。

1.2 流动类型

1.2.1 稳定流

稳定流流动是连续的，包括下列类型：

(a) 层流 在层流中，流体的任意流层相对于另一些与其流动方向平行的流层运动，且每层有各自的流动速度。如图 1 示，流体在圆柱形管道中流动，沿管轴流速最快，而无滑动时管壁处流速为零。

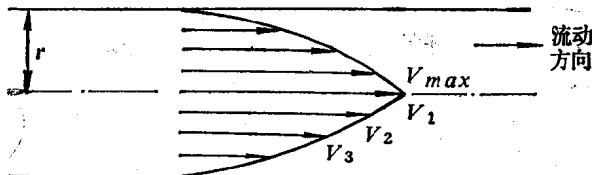


图 1 层流

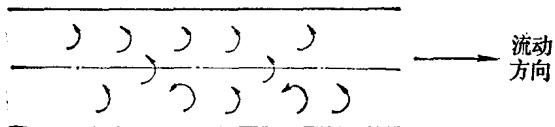


图 2 紊流

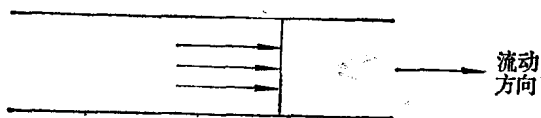


图 3 塞流

(b) 紊流 在紊流中，液流内均形成小的涡流（见图 2）。

(c) 塞流 在塞流中，流体象塞子一般沿管子流动。在已定方向上，不论与管轴的距离如何，流速为常数（见图 3）。

只有少数类型的流体表现为塞流。膨润土悬浮体是一种塑性流体，能表现为塞流，而水、柴油、甘油溶液等则不是。

1.2.2 不稳定流

不稳定流正好发生在流动条件刚改变之后，和新的流动稳定条件建立之前。

例如，流体开始流动时，以及流速变化，管道横断面变宽或变窄等时候，可以产生不稳定流。

1.2.3 流动类型随平均流速的变化

根据平均流速 V 的变化，某种流体流经给定尺寸的直圆柱形管道时，可能出现下列情况：

(a) 不存在塞流，如图 4 示；

(b) 存在塞流，如图 5 示。

图中， V_1 是层流末端的临界流速， V_2 是紊流起端的临界流速。

注意，“不稳定流”的含义比“层流-紊流过渡带”的含义更广。

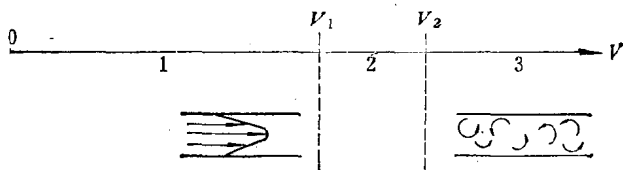


图 4 流动类型的变化

1—层流（稳定的）；2—层流-紊流带（不稳定的）；3—紊流（平均是稳定的）

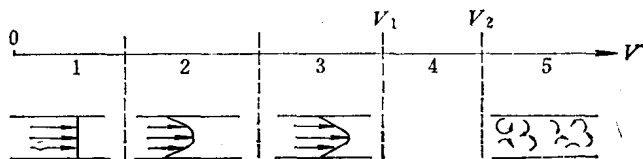


图 5 流动类型的变化

1—塞流（稳定的）；2—随流速增加流核减小；3—层流（稳定的）；
4—层流-紊流（过渡带）；5—紊流（平均是稳定的）

1.3 流变特性

在一定温度和压力条件下，流体具有如下特性：

A. 在不稳定的条件下，流动状态可用对应于流动条件改变的时间来表示。

B. 层流态可以用其试验流变曲线或流变图来表示。这

种曲线所代表的流动方程的不变系数是流变参数，对不同流体是各不相同的。

如流动为层流，流动方程把剪切应力 τ 与剪切速率 $\dot{\gamma}$ 联系起来。对一给定流体，它随温度及压力而变化。

已说过，在层流中，流体可剪切成与流动方向相互平行的流层，每层均具有特定的运动速度。因而可定义如下：

(a) 剪切速率为

$$\dot{\gamma} = \frac{dV}{dr} = \frac{\text{两相邻层间的流速差}}{\text{两层间距离}} \quad (1)$$

$\dot{\gamma}$ 的量纲式是

$$\frac{LT^{-1}}{L} = T^{-1}$$

即 $\dot{\gamma}$ 的量纲是时间的倒数（秒⁻¹或1/秒）。

(b) 剪切应力为剪切液层单位面积上的力。

τ 的量纲式是

$$\frac{MLT^{-2}}{L^{-2}} = ML^{-1}T^{-2}$$

即 τ 具有压力的量纲。经常以磅/100英尺²（磅力/100 英尺²）或以国际单位制（SI）帕（Pa）来表示。

对一已知剪切速率，表观粘度 μ_a 由下列方程来定义：

$$\mu_a = \frac{\tau}{\dot{\gamma}} \quad (2)$$

式中 τ 是相应于 $\dot{\gamma}$ 的剪切应力。

μ_a 的量纲式为

$$\frac{ML^{-1}T^{-2}}{T^{-1}} = ML^{-1}T^{-1}$$

即 μ_a 具有粘度的量纲。

国际单位制中， μ 以帕·秒 (Pa·s) 表示。这一单位常用毫帕·秒 (mPa·s)，相当于厘泊 (cP)。

常常需要考虑液流通道壁处的剪切应力、剪切速率和表观粘度。

C. 对触变流体，静止时其状态可用静止一定时间后形成凝胶来表示。

符合下列条件的流体是触变流体：

- (a) 摆动并静止后可形成凝胶；
- (b) 如再次撆动后，它可恢复到原有状态。

在常温和常压下，触变状态是可逆的。

1.4 流变参数的试验测定方法

常用于井场测试的仪器有：

- (a) 马氏漏斗粘度计；
- (b) 范氏粘度计。

1.4.1 马氏漏斗粘度计 (图6)

1.4.1.1 原理

马氏漏斗粘度计是一种固定式测试仪器。测量参数为一定量的泥浆流过仪器尾管所需的时间，用秒表示。此仪器是一个简单的标准漏斗。泥浆可收集在一个量杯中。

1.4.1.2 操作

手握漏斗，用手指堵住尾管管口。

通过漏斗上的筛网倒入泥浆，直至泥浆面与筛网平齐；此时其体积相当于1500厘米³。

握住漏斗把手，按动秒表，让泥浆流入量杯中，当杯中收集到946厘米³ (1/4加仑) 泥浆时，再次按动秒表，秒表上的读数，即泥浆的马氏粘度。